

# 一种计算传递矩阵 $H_\infty$ 范数的快速方法 ——矩阵广义符号函数法

王永骥 徐桂英 涂 健

(华中理工大学自控系·武汉, 430074)

**摘要:** 本文提出了一种基于矩阵广义符号函数的传递函数阵  $H_\infty$  范数的快速计算方法. 这一方法避免了以往方法中必须采用的哈密顿阵的特征值计算问题, 大大加快了计算速度.

**关键词:**  $H_\infty$  范数; 矩阵广义符号的函数; 传递函数阵; 哈密顿阵

## 1 引言

近年来, 基于状态空间方法的  $H_\infty$  最优控制器设计引起了人们的广泛兴趣与重视. 文献[1]、[2]讨论了基于状态空间方法的  $H_\infty$  控制问题. 在上述方法及在鲁棒分析和鲁棒设计中, 传递函数阵的  $H_\infty$  范数都起着十分重要的作用.

传递函数阵  $G(s)$  的  $H_\infty$  范数定义如下:

**定义 1** 设传递函数阵  $G(s) = C(sI - A)^{-1}B + D$ , 记作  $G(s) = [A, B, C, D]$ ,  $A$  的所有特征值均是稳定的, 即  $\text{Re}(\lambda_i) < 0, i = 1, \dots, n$ .  $G(s)$  的  $H_\infty$  范数为  $G(s)$  的最大奇异值的上确界, 即

$$\|G(s)\|_\infty = \sup_{\text{Re}(s) > 0} \sigma_{\max}[G(s)] = \sup_{\omega \in \mathbb{R}^+} \sigma_{\max}[G(j\omega)]. \quad (1)$$

1980 年以前,  $H_\infty$  范数的计算往往根据定义, 在整个“频率”上进行搜索, 计算量特别大. 1988 年, 文[3]提出两分法. 1990 年, 文[5]提出快速搜索法. 他们的方法都利用了传递函数阵与相应的哈密顿阵特征值的关系, 因此必须计算哈密顿阵的特征值. 由于特征值计算颇费机时, 上述方法尚存在改进之处.

由矩阵广义符号函数的性质, 可方便地确定矩阵是否存在虚轴上的特征值及其个数, 从而方便地求出  $H_\infty$  范数. 矩阵广义符号函数计算量大大小于特征值计算, 从而可大大提高  $H_\infty$  范数的计算速度. 本文第 4 节例说明了这一点.

## 2 理论基础

设系统的传递函数阵  $G(s) = [A, B, C, D]$ ,  $A$  无虚轴上特征值. 若  $\gamma > 0$ , 且  $\gamma \neq \sigma_{\max}(D)$ , 定义  $H(\gamma)$  为

$$H(\gamma) = \begin{bmatrix} A + BR^{-1}D^T C & BR^{-1}B^T \\ -C^T(I + DR^{-1}D^T)C & -A^T - C^TDR^{-1}B^T \end{bmatrix}. \quad (2)$$

式中

$$R = \gamma^2 I - D^T D.$$

在上述假设成立时, 有

**命题 1** 对所有的  $\omega_p \in \mathbb{R} = (-\infty, +\infty)$ ,  $\omega_p$  是  $H(\gamma_1)$  的特征值  $\Leftrightarrow \gamma_1$  是  $G(j\omega_p)$  的奇异值.

证明见[5], 此处略.

**命题 2** 若  $H(\gamma_k)$  不存在虚轴上的特征值, 则对于  $\gamma > \gamma_k$ ,  $H(\gamma)$  也不存在虚轴上的特征值.

证 参见[5]. 由于奇异值是  $\omega$  的连续函数, 由此可得曲线如图 1. 其中, 曲线 1 对应  $D = 0$ , 曲线 2 对应  $D \neq 0$ . 当  $\sigma_m(D) < r < \gamma^*$ , 任意  $\gamma$  与奇异值曲线至少有一个交点,  $H(\gamma)$  存在虚轴上的特征值; 当  $\gamma > \gamma^*$ ,  $\gamma_k$  与奇异值曲线无交点,  $H(\gamma_k)$  不存在虚轴上的特征值. 显然, 任意  $\gamma > \gamma_k$  也将与奇异值曲线无交点,  $H(\gamma)$  不存在虚轴上的特征值.

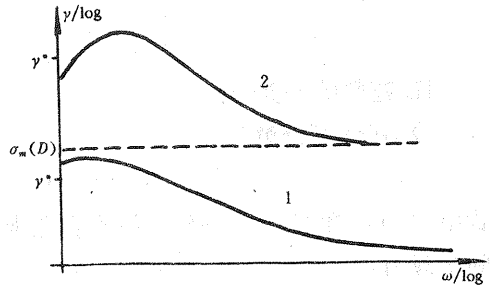


图 1 奇异值与  $\omega$  的关系曲线

## 2.2 矩阵的广义符号函数<sup>[4]</sup>

一个复数的广义符号函数定义为:

$$f(\lambda) = \text{sgn}(\lambda) = \begin{cases} +1, & \text{Re}(\lambda) > 0, \\ 0, & \text{Re}(\lambda) = 0, \\ -1, & \text{Re}(\lambda) < 0. \end{cases} \quad (3)$$

矩阵的广义符号函数定义为<sup>[5]</sup>:

$$S^*(A) = M \text{sgn}(J) M^{-1}. \quad (4)$$

式中  $J$  为  $A$  的 Jordan 标准型,  $M$  由特征向量组成. 在  $A$  为满秩阵时, 令

$$A_r = A + kI, \quad A_l = A - kI. \quad (5)$$

式中  $k \neq \text{Re}[\lambda_i(A)]$ ,  $k < \min_i |\lambda_i(A)|$ .

矩阵的广义符号计算公式为

$$S^*(A) = 1/2[S(A_r) + S(A_l)]. \quad (6)$$

式中  $S(\cdot)$  为矩阵的常义符号函数. 在  $A$  为奇异阵时, 可降阶求出其满秩子阵的广义符号函数. 记  $N_s, N_u, N_c$  分别为  $A$  中  $\text{Re}(\lambda_i) < 0, \text{Re}(\lambda_i) > 0$  和  $\text{Re}[\lambda_i(A)] = 0$  的极点的个数,  $n$  为系统阶次, 则:

$$N_s = \frac{1}{2} \{ \text{tr}[S^*(A)]^2 - \text{tr}[S^*(A)] \}, \quad (7)$$

$$N_u = \frac{1}{2} \{ \text{tr}[S^*(A)]^2 + \text{tr}[S^*(A)] \}, \quad (8)$$

$$N_c = n - N_s - N_u.$$

## 2.3 $H_\infty$ 范数的上下界

$H_\infty$  范数的下界为:

$$\gamma_{lb} = \sigma_{\max}(D)^{[3]}, \quad (9)$$

$$\gamma_{lb} = \max\{\sigma_{H,\max}(D), \sigma_{\max}(D)\}^{[6]}, \quad (10)$$

$$\gamma_{lb} = \max\{G_{\max}[G(0)], \sigma_{\max}[G(j\omega_p)], \sigma_{\max}(D)\}^{[5]}. \quad (11)$$

其中  $\sigma_{H,\max}(D)$  为 Hankel 阵的最大奇异值,  $\omega_p = |\lambda_i[G(s)]|$

$$\lambda_i = \begin{cases} \max_i \frac{\text{Im}(\lambda_i)}{\text{Re}(\lambda_i)} \frac{1}{|\lambda_i|}, & \text{若存在 } \text{Im}(\lambda_i) \neq 0, \\ \min_i |\lambda_i|, & \text{若所有 } \text{Im}(\lambda_i) = 0. \end{cases} \quad (12)$$

$H_\infty$ 范数的上界<sup>[3]</sup>:

设  $G(s)$  可分解为

$$G(s) = G_-(s) + G_+(s) + D. \quad (13)$$

式中  $G_-(s)$  和  $G_+(s)$  分别为极点在左半平面和右半平面的严格真有理阵,对应的状态空间实现为:

$$G_-(s) = [A_-, B_-, C_-, 0], \quad G_+(s) = [A_+, B_+, C_+, 0]. \quad (14)$$

则有:

$$\|G(s)\|_\infty \leq 2\text{tr}(R_-) + 2\text{tr}(R_+) + \|D\|_\infty. \quad (15)$$

式中,  $R_-, R_+$  均为对角阵,其元素分别为  $P_-, Q_-$  和  $P_+, Q_+$  特征值的非负方根.  $P_-, Q_-$  和  $P_+, Q_+$  分别满足 Lyapunov 方程:

$$A_- P_- + P_- A_-^T = -B_- B_-^T, \quad (16)$$

$$A_-^T Q_- + Q_- A_- = -C_-^T C_-, \quad (17)$$

$$A_+ P_+ + P_+ A_+^T = -B_+ B_+^T, \quad (18)$$

$$A_+^T Q_+ + Q_+ A_+ = -C_+^T C_+. \quad (19)$$

### 3 基于矩阵广义符号的 $H_\infty$ 范数计算

由上分析可得,按上节方法求出  $H_\infty$  范数的上下界后,可用二分法或任何一种单变量寻优法在  $[\gamma_{lb}, \gamma_{ub}]$  上搜索出  $\gamma_{opt}$  来. 广义符号函数可采用文献[7]提出的改进矩阵符号函数法. 据此,本文提出一种基于矩阵广义符号函数的  $H_\infty$  范数计算方法如下:

第一步  $k = 0$ . 计算  $G(s)$  的上下界  $\gamma_{lbk}, \gamma_{ubk}$  初值. 式中各量意义见第三步;

第二步 令

$$\gamma_{k+1} = \frac{1}{2}(\gamma_{lbk} + \gamma_{ubk}), \quad (20)$$

计算  $H(\gamma_{k+1})$  的广义符号函数,判别其有无虚轴上的特征值,即  $N_c[H(\gamma_{k+1})]$  是否为 0;

第三步 若  $H(\gamma_{k+1})$  存在虚轴上的特征值,即  $N_c[H(\gamma_{k+1})] \neq 0$ , 则

$$\gamma_{lbk} = \gamma_{k+1}, \quad (21)$$

$$\gamma_{ubk} = \gamma_{ubk}, \quad (22)$$

转第四步;否则,令

$$\gamma_{lbk} = \gamma_{lbk}, \quad (23)$$

$$\gamma_{ubk} = \gamma_{k+1}, \quad (24)$$

转第四步:

第四步  $k + 1 \Rightarrow k$ , 若  $|\gamma_k - \gamma_{k-1}| < \epsilon$ , 结束;否则转第二步. 此处  $\epsilon$  为控制精度.

由于本法中计算在上下界中间搜索,其收敛性是显然的.

## 4 计算实例

基于状态空间方法的  $H_\infty$  控制问题为<sup>[2]</sup>

$$\text{系统:} \quad \dot{X} = AX + B_1\omega + B_2u, \quad (25)$$

$$Z = C_1X + D_{11}\omega + D_{12}u, \quad (26)$$

$$Y = Z. \quad (27)$$

当闭环控制律为

$$u = F_\infty X = -B_2^T X_\infty X \quad (28)$$

时, 闭环系统的传递函数阵为

$$T_{zw}(s) = \begin{bmatrix} A - B_2 B_2^T X_\infty & B_1 \\ C_1 - D_{12} B_2^T X_\infty & D_{11} \end{bmatrix}. \quad (29)$$

式中  $X_\infty$  对称正定, 为代数 Riccati 方程(30)的解.

$$X_\infty(A - B_2 B_2^T X_\infty) + (A - B_2 B_2^T X_\infty)^T X_\infty + [X_\infty B_1 + (C_1 - D_{12} B_2^T X_\infty)^T D_{11}] R^{-1} \cdot [X_\infty B_1 + (C_1 - D_{12} B_2^T X_\infty)^T D_{11}]^T + (C_1 - D_{12} B_2^T X_\infty)^T (C_1 - D_{12} B_2^T X_\infty) = 0. \quad (30)$$

式中

$$R = \gamma^2 I - D_{11}^T D_{11}.$$

在满足条件  $D_{11} = 0, D_{12}^T [D_{12}, C_1] = [I \ 0]$  时, 闭环传函阵为

$$T_{zw}(s) = \begin{bmatrix} A - B_2 B_2^T X_\infty & B_1 \\ C_1 - D_{12} B_2^T X_\infty & 0 \end{bmatrix}. \quad (31)$$

相应的哈密顿阵为

$$H(\gamma) = \begin{bmatrix} A - B_2 B_2^T X_\infty & \gamma^{-2} B_1 B_1^T \\ -C_1^T C_1 - X_\infty B_2 B_2^T X_\infty & -A^T + X_\infty B_2 B_2^T \end{bmatrix}. \quad (32)$$

对(32)式作相似变换. 取变换阵为

$$P = \begin{bmatrix} I & 0 \\ X_\infty & I \end{bmatrix}. \quad (33)$$

可证  $H(\gamma)$  的特征值与  $\bar{H}(\gamma)$  特征值相同.

$$\bar{H}(\gamma) = \begin{bmatrix} A & \gamma^{-2} B_1 B_1^T - B_2 B_2^T \\ -C_1^T C_1 & -A^T \end{bmatrix}. \quad (34)$$

因此,  $T_{zw}(s)$  的  $H_\infty$  范数可由  $\bar{H}(\gamma)$  计算, 与  $X_\infty$  无关. 此时  $H_\infty$  范数即为闭环最优值  $\gamma_{opt}$ .

在系统(25) ~ (27) 中取

$$A = \begin{bmatrix} 1 & 1 & 0 \\ 1 & 2 & 1 \\ 1 & 1 & 4 \end{bmatrix}, \quad B_1 = \begin{bmatrix} 1 & 1 \\ 0 & 1 \\ 1 & 0 \end{bmatrix}, \quad B_2 = \begin{bmatrix} 1 & 0 \\ 0 & 1 \\ 1 & 0 \end{bmatrix},$$

$$C_1 = \begin{bmatrix} 0 & 0 & 0 \\ 1 & 1 & 1 \\ 0 & 1 & 1 \end{bmatrix}, \quad D_{11} = 0, \quad D_{12} = \begin{bmatrix} 0 & 0 \\ 0 & 1 \\ 1 & 0 \end{bmatrix}.$$

求状态反馈的  $H_\infty$  控制问题有

$$F_\infty = \begin{bmatrix} 90.6423 & 73.7208 & -174.3812 \\ -97.1586 & -83.6190 & 169.8789 \end{bmatrix}.$$

文[3]中,利用CAD软件包求得

$$\gamma_{\text{opt}} = 1.759676.$$

由本文分析,  $\gamma_{\text{opt}}$  可通过  $\bar{H}(\gamma)$  求得. 采用本文方法, 迭代 14 次, 亦获得如上结果, 但方法简单得多.

### 参 考 文 献

- [1] Doyle, J., Glover, D., Khargonekar, D. & Francis, B.. State Space Solutions to Standard  $H_2$  and  $H_\infty$  Control Problems, IEEE Trans. Automat. Contr., 1989, AC-34: 831—847
- [2] 涂健, 杨富文.  $H_\infty$  状态反馈控制问题的 ARE 方法. 华中理工大学学报, 1992, 20(3): 101—107
- [3] Robel, G.. On Computing the Infinity Norm. IEEE Trans. Automat. Contr., 1989, AC-34: 882—884
- [4] Attarzadeh, F.. Relative Stability Test for Continuous and Sampled-Data Control Systems Using the Generalized Sign Matrix Functions. Proc. IEE, Pt. D, 1982, 129(5): 189—192
- [5] Bruinsma, N. A. & Steinbuch, M.. A Fast Algorithm to the  $H_\infty$ -Norm of a Transfer Function Matrix. Sys. & Cont. Lett., 1990, 14: 287—298
- [6] Glover, K.. All Optimal Handel-Norm Approximations of Linear Multivariable Systems and Their  $L_\infty$ -Error Bounds. Int. J. Control, 1984, 39: 1115—1193
- [7] 涂健, 王永骥. 一种求解 Riccati 代数方程的新方法——矩阵符号函数法. 华中理工大学学报, 1987, 15(4): 171—175
- [8] 杨富文.  $H_\infty$  优化设计理论及应用研究. 华中理工大学博士学位论文, 1990

## A Fast Algorithm of Computing $H_\infty$ Norm of Transfer Function Matrix via Matrix Generalised Sign Function

WANG Yongji, XU Guiying and TU Jian

(Department of Automatic Control, Huazhong University of Science and Technology • Wuhan, 430074, PRC)

**Abstract:** A fast algorithm of computing  $H_\infty$  norm of transfer function matrix based on matrix generalised sign function is presented, in which the eigenvalue computation of Hamiltonian matrix is avoided, and the convergency is greatly accelerated.

**Key words:**  $H_\infty$  norm; matrix generalised sign function; transfer function matrix; Hamiltonian matrix

### 本文作者简介

王永骥 1955 生. 现为华中理工大学自控系副教授. 感兴趣的研究方向为: 鲁棒控制, 神经网络控制, 工业过程的计算机控制等.

徐桂英 1945 生. 现为华中理工大学自控系副教授. 感兴趣的研究方向为: 智能控制, 工业过程的计算机控制等.

涂健 1927 年生. 现为华中理工大学自控系教授. 从事的研究方向为: 智能控制, 鲁棒控制, 自适应控制, 工业过程的计算机控制等.